

고온초전도후막의 확산두께에 따른 전류제한 특성연구

論文

49C - 4 - 2

The Study on Characterization of Current-limiting with Diffusion Thickness of High-T_c Superconductor Thick Film

林成勳*·姜亨坤*·韓太熙·牟昌浩·林錫珍·韓秉誠**

(Sung-Hun Lim·Hyeong-Gon Kang·Tae-Hee Han·Chang-Ho Mo·Suk-Jin Lim·Byoung-Sung Han)

Abstract - For the fabrication of YBa₂Cu₃O_x thick film, a substrate of Y₂BaCuO₅ was fabricated by adding CeO₂ into Y₂BaCuO₅ and two types of doping materials added with binder material were prepared. Each doping material was patterned on Y₂BaCuO₅ substrate by the screen printing method and then was annealed at the temperature with a few step. It could be observed by X-ray diffraction patterns and SEM photographs that through the diffusion process of the Y₂BaCuO₅ and each doping material, the YBa₂Cu₃O_x phase was formed. And with an additive of CeO₂, the thickness of formed YBa₂Cu₃O_x decreased. From the experiment of current limiting on thick film, the sample with thinner thickness of YBa₂Cu₃O_x showed the more effective characteristics of current limiting.

Key Words : the screen printing method, the diffusion process, characteristics of current limiting

1. 서 론

고온초전도체의 낮은 임계전류밀도는 실제의 응용에 있어 큰 장애물이 된다. 고상소결법을 통해 벌크형태로 제작할 경우, 낮은 임계전류밀도의 요인이 되었던 결정립간의 약결합을 MTG나 MPMG등과 같은 용융공정을 통해 향상시킬 수 있었다[1]. 선재형태로 제작한 고온초전도체는 실제의 전력응용을 위한 임계전류값을 얻을 수 있으나 고온초전도체가 갖는 기계적 취약성 때문에 실제응용을 위한 장선화나 접합성향상을 위한 노력이 이루어지고 있다[2][3].

증착장비를 이용하여 제작되는 고온초전도박막은 일방향으로 성장시키는 것이 가능하여 높은 임계전류밀도값을 얻을 수 있으나 고가의 장비를 필요로 하고 복잡한 공정조건제어가 필수적이다. 또한 증착속도가 낮아 원하는 두께를 갖는 막을 형성하기 위해서는 장시간의 공정시간을 필요로 하는 문제점이 있고 기판의 선택에 있어 단결정기판을 필요로 하기 때문에 전력응용을 위한 대면적박막제작이 어려운 단점이 있다[4].

따라서 고가의 박막제조장비를 사용하지 않고 경제성이 있는 기판의 선택과 함께 대면적의 막을 제작할 수 있을 뿐 아니라 두께의 제어가 용이한 후막제조법에 관한 연구가 요구되고 있다. 그러나 후막제작시 MgO나 SrTiO₃기판은 상대적으로 고가이고 그 제작할 수 있는 치수가 작기 때문에 실제적인 디바이스응용에 제한이 되고 있다. 알루미나나 실리콘 석영과 같은 기판위에 초전도상을 형성시키려는 노력도

높은 온도에서 기판과의 상호확산으로 인한 반응때문에 크게 성공적이지 못했다. 그렇지만 이와 같은 문제점들은 기판물질로 고온초전도상성분의 조성일부을 사용함으로서 해결될 수 있었다[5][6].

이와 같은 방법을 이용할 경우 우선 기판가격이 저렴하고 원하는 임의의 모양으로 만들기가 용이하며 원하는 상의 일부성분을 기판으로 사용하기 때문에 기판과 도포물질과의 상호반응이 더 이상 중요치 않게 되고 기판과의 응집력 또한 향상된다.

본 연구에서는 YBa₂Cu₃O_x초전도체의 포정반응물질인 Y₂BaCuO₅과 액상성분을 기판과 도포물질로서 선택하여 이 두 물질의 포정온도부근에서 용융과정과 확산과정을 이용하여 YBa₂Cu₃O_x후막을 제작하였다. 또한 다른 도포물질로서, 소결과정을 거쳐 얻어진 YBa₂Cu₃O_x로 도포하였을 경우와 비교 및 분석하였다.

또한 용융공정에서 YBa₂Cu₃O_x내에 Y₂BaCuO₅상의 도입을 더욱 미세화하고 균일화시켜 주는 역할을 한 CeO₂물질을 기판물질에 각각 첨가하여 X선회절페턴을 통해 형성된 상의 변화를 분석하였고 전자현미경사진을 이용하여 미세구조 및 형성된 막의 두께를 관찰하였다.

후막공정에서도 형성될 막의 두께와 이에 따른 임계특성에 영향을 주는 파라미터로서 도포물질에 포함시킬 바인더양이나, 프린팅의 횟수, 스퀴지에 가하는 압력 등이 있지만 이들은 기본적인 후막제작을 위한 기술적인 문제로 몇번의 반복실행을 통해 극복할 수 있지만 도포물질과 기판에 첨가될 물질에 따라 형성될 막의 두께와 임계특성의 변화를 기대할 수 있다면 두께변화를 통한 임계특성을 제어할 수 있다는 점에서 이에 대한 연구는 의의가 있을 것으로 사료된다.

마지막으로 고온초전도후막을 응용하기 위한 특성조사로, 웬치현상을 이용한 전류제한을 실험 및 고찰하였고 형성된 막의 두께변화에 따른 전류제한특성을 비교분석하였다. 두께제어를 통한 전류제한특성을 변화시킬 수 있음을 조사함으로써 고온초전도 후막소자개발과 함께 이를 전력전자회로에 적용시키기 위한 연구의 기초를 마련하고자 한다.

* 正會員 : 全北大 工大 電氣工學科 博士課程

** 正會員 : 全北大 工大 電氣工學科 教授 · 工博

接受日字 : 1999年 11月 23日

最終完了 : 2000年 3月 20日

2. 실험 방법 및 특성 평가

2.1 실험 방법

확산을 이용한 $\text{YBa}_2\text{Cu}_3\text{O}_x$ 후막을 제작하기 위해 Y_2O_3 , BaCO_3 , CuO 분말의 물비가 1 : 1 : 1이 되도록 혼합하여 하소를 거친 다음 지름 15 mm, 두께 1.5 mm 가량인 원형 펠렛을 준비하였다. 이와 같이 준비된 원형 기판위에 도포할 첫 번째 물질로 BaCO_3 와 CuO 의 물비가 3:5가 되도록 혼합하여 산소분위기에서, 860 °C와 900 °C로 각각 24시간 동안 하소한 후 이를 시브웨이커를 이용하여 미세하게 분쇄하였다.

도포할 두 번째 물질은 Y_2O_3 , BaCO_3 , CuO 분말로부터 Y, Ba, Cu의 각 물비가 1:2:3이 되도록 혼합한 후 산소분위기 920 °C에서 24시간 씩 2차례에 걸쳐 하소하여 준비하였다.

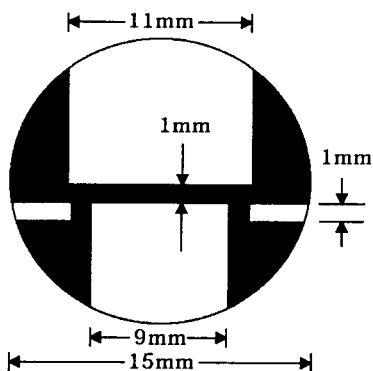


그림 1 후막형 전류제한 측정모델

Fig. 1 Model for measurement of current limit of thick film type

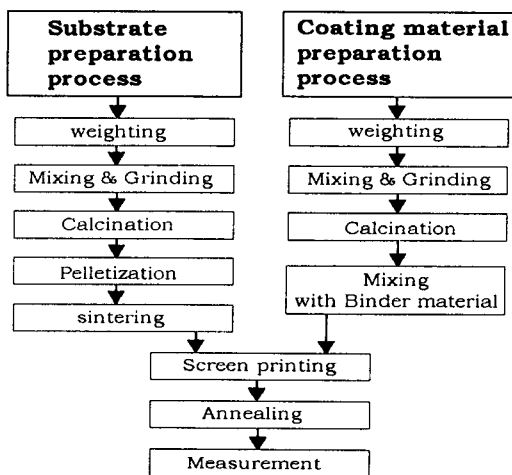


그림 2 초전도후막제작공정도

Fig. 2 The diagram of preparation for superconducting thick film

위에서 준비된 각각의 도포물질에 용질로 ethyle cellulose를 4wt% 가량 첨가하여 isopropyl alcohol을 매개로 2시간에 걸쳐 균일하게 혼합되도록 밀링하였다. 이와 같이 균일하게 혼합된 분말에 용매로 n-butyl carbitol acetate 40wt% 가량을 첨가하여 기판위에 도포할 끈끈한 점도를 갖는 페이스트를 준비하였다.

전류제한 특성 실험을 위한 기판위에 입힐 그림 1과 같은 패턴을 200매씩 실크망에 형성시키기 위해 실크망에 감광액을 고루 입힌 다음 감광기를 통해 일정시간 감광시켰다. 감광된 실크망을 물로 세척한 후 전조기를 통해 전조시켰다. 마지막으로 실크망틀과 스퀴저를 이용하여 위에서 준비된 각각의 페이스트를 Y_2BaCuO_5 기판위에 프린팅을 실시하였다.

기판에 도포한 물질과 기판간에 확산을 통한 YBCO초전도상을 형성시키기 위해 다음과 같이 열처리를 실시하였다.

먼저 용매성분을 제거하기 위해 140 °C에서 45분 유지하고, 용질을 연소시키기 위해 350 °C에서 약 20분간 유지하였다. 그 후 포정반응을 이용하여 YBCO를 형성시킨 후 460 °C에서 상전이를 위한 산소함량을 증가시키기 위해 약 6시간 동안 산소분위기하에서 열처리를 실시하였다.

2.2 특성 평가

전류제한 특성을 측정하기 위해 먼저 준비된 시편과 은선과의 접촉저항을 최소화하기 위해 전압, 전류단자부분을 금(Au)코팅을 실시한 다음 은풀을 이용하여 은선을 코팅된 전극과 접촉시켰다. 그리고 홀더에 부착시킨 다음 액체질소에 담가 교류전압이 최대가 되는 점에서 전류제한특성을 조사하였다. 그림 3에 전류제한특성측정을 위한 실험장치회로를 나타내었다.

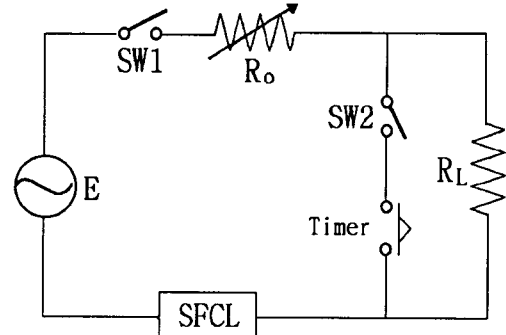


그림 3 전류제한측정을 위한 실험장치회로

Fig. 3 The experimental device circuit for measurement of current limit

그림에는 나타내지 않았지만 SW_2 를 on 했을 때 릴레이가 동작되어 원하는 전원각에서 타이머스위치가 on이 되도록 세어하는 회로가 부가적으로 연결되어 있다. 직렬저항 R_o 은 SW_1 이 on되었을 때 전원으로부터 공급되는 전류가 SFCL의 임계전류이상을 넘어서지 않도록 조절하기 위한 가변저항이다. 본 논문에서는 부하저항 R_L 값이 500Ω일 때와 100Ω일 경우에 전류제한효과를 조사하였다.

SW_1 이 on, SW_2 가 off 상태일 때의 SFCL양단의 전압은 식 (1)과 같다. 이상적인 경우라면 즉 양질의 후막이라면 $V_s=0$ 에 가까운 값을 보여야 하지만 실제 실험에서는 완전하지 못한 접촉에 기인한 접촉저항과 매끄럽지 못한 패턴형태 등으로 무시할 수 없는 전압강하가 나타나므로 이때의 초전도후막양단의 저항을 고려하여 나타내었다. SW_1 이 on, SW_2 가 on일 경우의 SFCL양단전압은 식 (2)와 같고 부하가 회로로부터 제거되었을 때 SFCL양단에 나타나는 전압이다.

$$V_s = \frac{R_s}{R_o + R_L + R_s} \cdot E \quad (1)$$

$$V_s = \frac{R_s}{R_o + R_s} \cdot E \quad (2)$$

3. 실험결과 및 고찰

YBCO 부분용융물질을 포함한 혼합분말원료와 바인더를 혼합하여 페이스트를 제조하였고 스크린 프린팅기술로 Y_2BaCuO_5 기판위에 일정한 패턴을 갖는 막을 도포한 다음 적절한 열처리를 통해 YBCO후막을 제작하였다.

용융공정에서 $YBa_2Cu_3O_x$ 내에 Y_2BaCuO_5 상의 도입을 더욱 미세화하고 균일화시켜 주는 역할을 하는 CeO_2 물질을 기판물질에 첨가하여 X선회절패턴을 통해 형성된 상의 변화를 분석하고 전자현미경사진을 통해 미세구조 및 형성된 막의 두께를 관찰하였다.

마지막으로 고온초전도후막을 용융하기 위한 기본특성조사로서, 웨치현상을 이용한 전류제한특성을 실험 및 고찰하였으며 형성된 막의 두께변화에 따른 전류제한특성을 비교분석하였다.

3.1 BaO+CuO 도포에 따른 후막특성

그림 4는 Y_2BaCuO_5 기판에 CeO_2 의 첨가에 따른 기판위에 성장된 $YBa_2Cu_3O_x$ 후막의 표면사진을 보여주고 있다. 그림 4-(a)에서는 액상성분과 Y_2BaCuO_5 기판의 확산에 의해 성장된 것으로 보이는 구상의 $YBa_2Cu_3O_x$ 을 관찰할 수 있다.

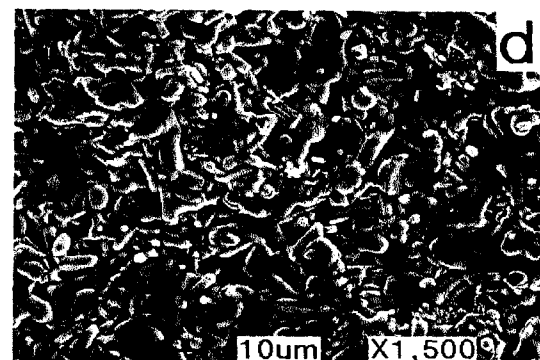
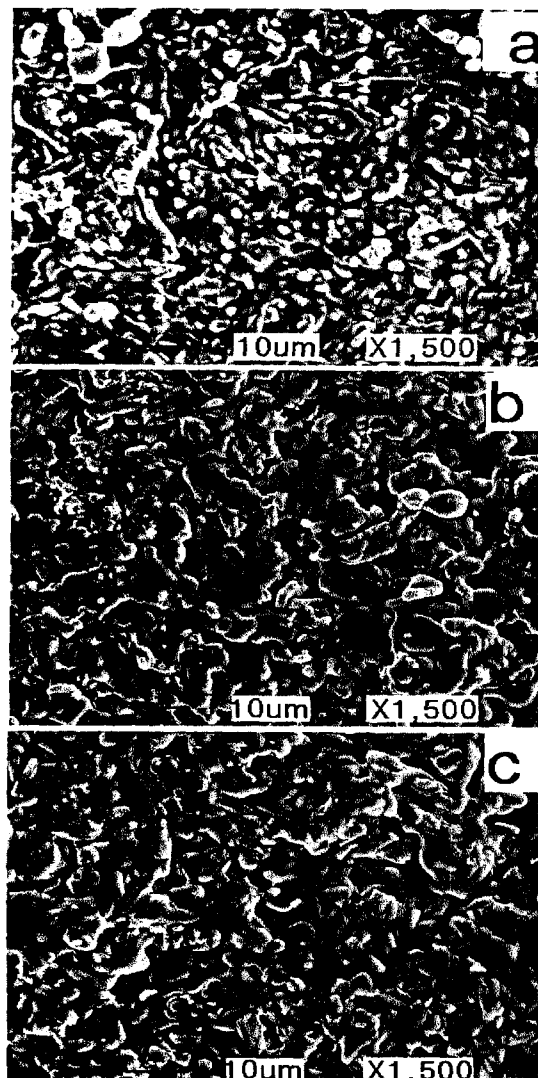


그림 4 Y_2BaCuO_5 기판에 CeO_2 첨가에 따른 YBCO 후막 표면의 전자현미경사진

- (a) $Y_2BaCuO_5 + CeO_2$ 0wt%
- (b) $Y_2BaCuO_5 + CeO_2$ 1wt%
- (c) $Y_2BaCuO_5 + CeO_2$ 2wt%
- (d) $Y_2BaCuO_5 + CeO_2$ 3wt%

Fig. 4 SEM micrograph of surface of YBCO thick film

- (a) $Y_2BaCuO_5 + CeO_2$ 0wt%
- (b) $Y_2BaCuO_5 + CeO_2$ 1wt%
- (c) $Y_2BaCuO_5 + CeO_2$ 2wt%
- (d) $Y_2BaCuO_5 + CeO_2$ 3wt%

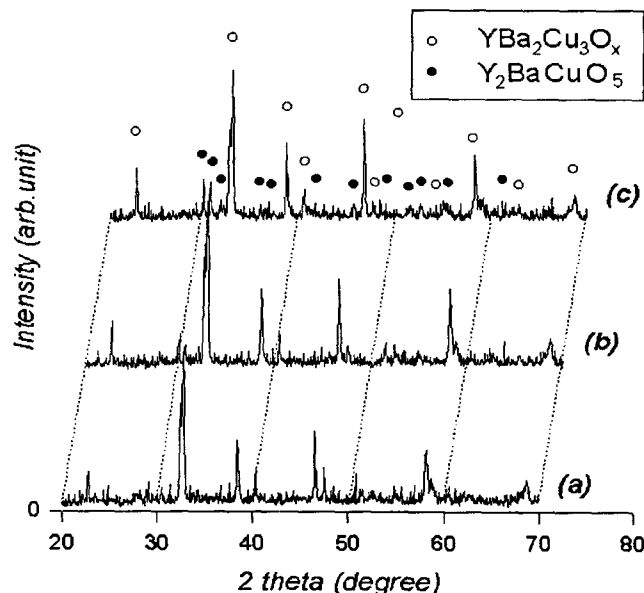


그림 5 기판에 CeO_2 첨가량에 따른 YBCO후막의 X-ray 회절 패턴

- (a) $Y_2BaCuO_5 + CeO_2$ 1 wt%
- (b) $Y_2BaCuO_5 + CeO_2$ 2 wt%
- (c) $Y_2BaCuO_5 + CeO_2$ 3 wt%

Fig. 5 X-ray diffraction patterns of YBCO thick film with CeO_2 addition amount into substrate

- (a) $Y_2BaCuO_5 + CeO_2$ 1 wt%
- (b) $Y_2BaCuO_5 + CeO_2$ 2 wt%
- (c) $Y_2BaCuO_5 + CeO_2$ 3 wt%

CeO_2 첨가량이 1wt%, 2wt%인 $YBa_2Cu_3O_x$ 사진(그림 4-(b), 4-(c))에서는 CeO_2 첨가량이 증가됨에 따라 성장된 입자의 크기가 상당히 증가되는 것을 볼 수 있으며 전체적인

$\text{YBa}_2\text{Cu}_3\text{O}_x$ 입자수는 감소하고 있는 것을 알 수 있다. 그러나 CeO_2 첨가량이 3wt%인 표면사진(그림 4-(d))에서는 다시 입자크기가 감소하고 미반응한 상으로 보이는 입자들을 관찰할 수 있었다.

위의 결과로부터 Y_2BaCuO_5 기판에 CeO_2 첨가는 $\text{YBa}_2\text{Cu}_3\text{O}_x$ 상의 성장을 향상시켜주는 역할을 하며 그 첨가량을 3wt%로 했을 경우에는 약간의 미반응한 상들이 표면 위에 관찰되는 것으로 보아 적합한 첨가량은 2wt%인 것으로 판단된다.

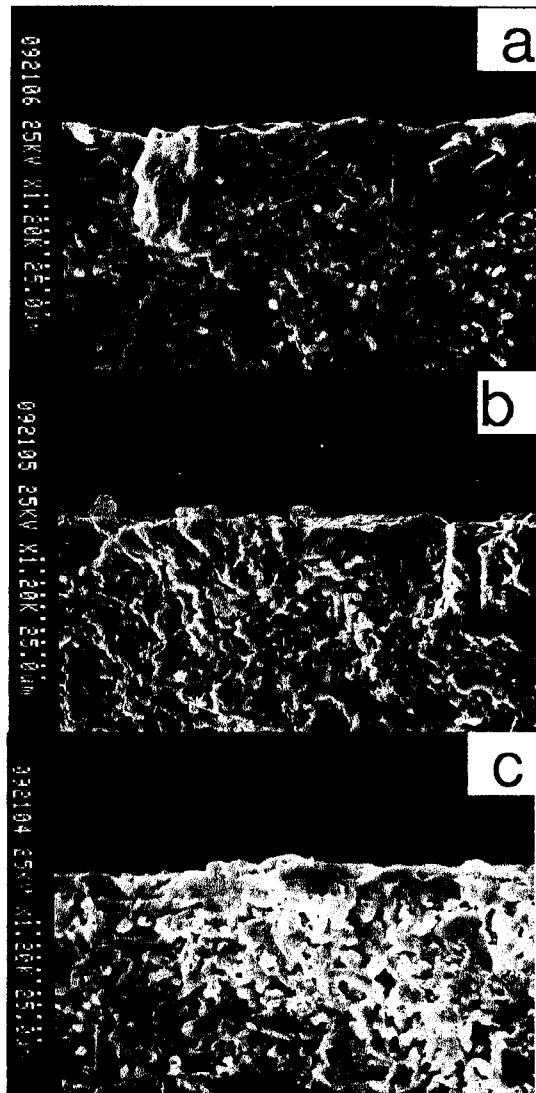


그림 6 기판에 CeO_2 첨가량에 따라 형성된 YBCO 후막층의 주사전자현미경 사진

- (a) $\text{Y}_2\text{BaCuO}_5 + \text{CeO}_2$ 1 wt%
- (b) $\text{Y}_2\text{BaCuO}_5 + \text{CeO}_2$ 2 wt%
- (c) $\text{Y}_2\text{BaCuO}_5 + \text{CeO}_2$ 3 wt%

Fig. 6 SEM micrograph of layer of YBCO formed with CeO_2 addition amount into substrate

- (a) $\text{Y}_2\text{BaCuO}_5 + \text{CeO}_2$ 1 wt%
- (b) $\text{Y}_2\text{BaCuO}_5 + \text{CeO}_2$ 2 wt%
- (c) $\text{Y}_2\text{BaCuO}_5 + \text{CeO}_2$ 3 wt%

기판에 CeO_2 첨가량에 따른 $\text{BaO}+\text{CuO}$ 와 기판의 확산두께 변화에 대한 관찰(그림 6)에서도 볼 수 있듯이 CeO_2 첨가량에 따라 액상도포물질과 기판과의 반응이 활발하게 일어나 생성된 $\text{YBa}_2\text{Cu}_3\text{O}_x$ 두께가 점점 감소되는 사실을 알 수 있었다. 위와 같은 사실은 Y_2BaCuO_5 기판에 CeO_2 첨가가 $\text{YBa}_2\text{Cu}_3\text{O}_x$ 상의 성장을 향상시켜주는 역할을 함을 뒤받침해 준다. CeO_2 첨가량에 따른 X-ray 회절패턴에서도 Y_2BaCuO_5 에 해당하는 피크와 $\text{YBa}_2\text{Cu}_3\text{O}_x$ 에 해당하는 피크강도가 증가되는 것을 관찰할 수 있었다.

위에서 관찰한 시편의 전류제한특성을 조사하기 위해 그림 3에 나타낸 회로와 연결하여 부하저항(R_L)이 500 Ω 일 때와 100 Ω 일 경우의 전류제한특성을 조사하였다. 기판에 CeO_2 가 첨가되지 않은 시편에서 부하를 제거하기 전후에 측정한 YBCO초전도후막양단의 전압강하특성을 그림 7, 8에 나타내었다.

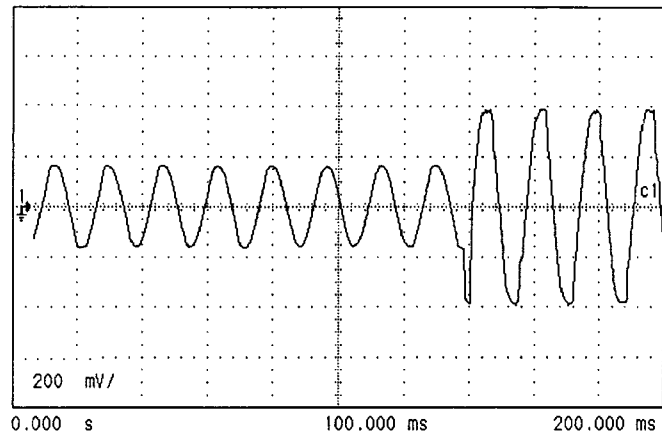


그림 7 YBCO고온초전도후막의 양단전압파형

기판 : $\text{Y}_2\text{BaCuO}_5 + \text{CeO}_2$ 0 wt%

부하저항 : $R_L = 500 \Omega$

Fig. 7 Voltage waveform of YBCO superconducting thick film

substrate : $\text{Y}_2\text{BaCuO}_5 + \text{CeO}_2$ 0 wt%

load resistance : $R_L = 500 \Omega$

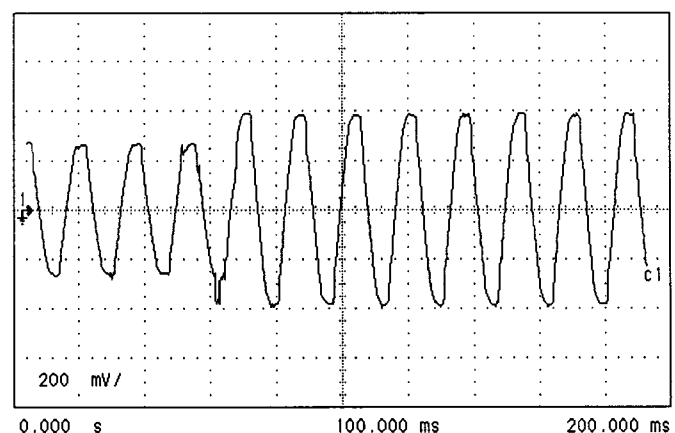


그림 8 YBCO고온초전도후막의 양단전압파형

기판 : $\text{Y}_2\text{BaCuO}_5 + \text{CeO}_2$ 0 wt%

부하저항 : $R_L = 100 \Omega$

Fig. 8 Voltage waveform of YBCO superconducting thick film

substrate : $\text{Y}_2\text{BaCuO}_5 + \text{CeO}_2$ 0 wt%

load resistance : $R_L = 100 \Omega$

이론적으로는 SW₂을 on하기 전에는 초전도후막 양단의 전압강하는 무시할만한 크기가 나타나야 되지만 그림에서는 각각 160 mV_{peak}, 280 mV_{peak}가 나타나는 것을 볼 수 있는데 이는 무시할 수 없는 접촉저항과 완전하지 못한 초전도상 때문으로 여겨진다. 식 (1)에서 R_s를 고려하여 계산한 결과 초전도후막 양단 저항과 접촉저항의 합이 각각 14.28 Ω, 18.45 Ω가량이었고 이때 전원으로부터 공급되는 전류는 각각 7.925 mA_{rms}, 10.73 mA_{rms}로 계산되었다.

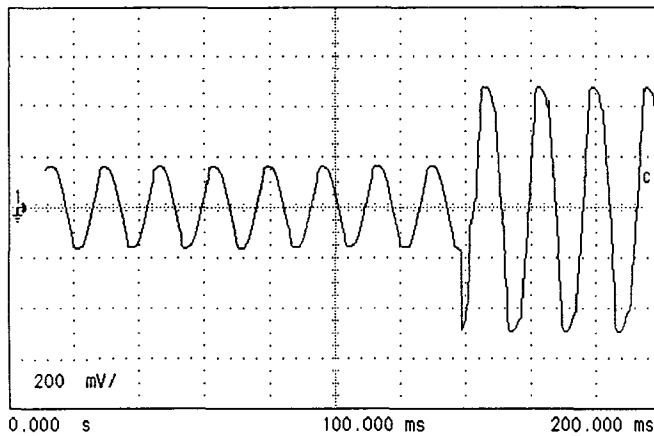


그림 9 YBCO고온초전도후막의 양단전압파형

기판 : Y₂BaCuO₅ + CeO₂ 2 wt%
부하저항 : R_L = 500 Ω

Fig. 9 Voltage waveform of YBCO superconducting thick film
substrate : Y₂BaCuO₅ + CeO₂ 2 wt%
load resistance : R_L = 500 Ω

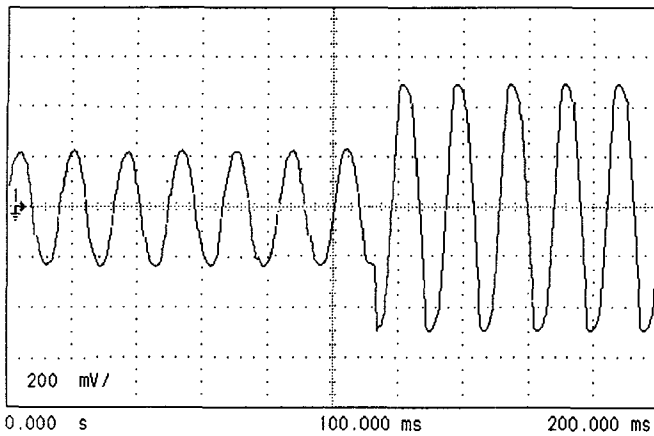


그림 10 YBCO고온초전도후막의 양단전압파형

기판 : Y₂BaCuO₅ + CeO₂ 2 wt%
부하저항 : R_L = 100 Ω

Fig. 10 Voltage waveform of YBCO superconducting thick film
substrate : Y₂BaCuO₅ + CeO₂ 2 wt%
load resistance : R_L = 100 Ω

SW₂가 on되는 순간 펜치가 극히 짧은 순간 발생되는 것을 관찰할 수 있으며 부하저항이 제거되는 순간 증가된 전류로 발생된 열이 다른 부분으로 분산되지 못하고 초전도체로 바로 유입된 결과로 여겨진다.

이때 계산된 초전도후막 양단저항값은 각각 22.91 Ω, 22.905 Ω으로 거의 비슷한 값으로 계산되었으며 여기에는 물론 접촉저항도 포함된 것으로 볼 수 있다. 이때 공급되는 전류값은 부하저항이 500 Ω, 100 Ω이었던 경우 모두, 11.73 mA_{peak}로 거의 같은 값이었다.

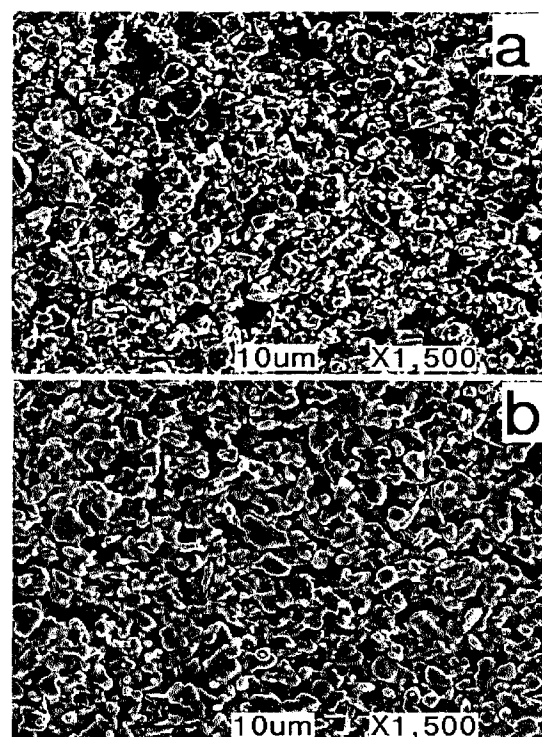
부하저항 R_L이 클 경우(500 Ω), 후막의 저항변화가 보다 크게 나타나는 것을 알 수 있다. 이는 후막양단에 흐르는 전류값이 크게 변할 때 상전도상태로의 저항변화가 커지는 것과 연관되는 것으로 판단된다.

그림 9, 10은 기판에 CeO₂가 2wt%첨가된 시편에서 부하제거에 따른 YBCO후막양단의 전압파형을 보여준다. 부하가 500 Ω, 100 Ω인 경우에 전압파형으로부터 계산된 저항값은 14.277 Ω, 14.448 Ω으로 나타났고 이때 인가된 전류는 각각, 7.925 mA_{rms}, 10.768 mA_{rms}로 계산되었다. 부하가 제거된 후에는 YBCO시편내의 저항값이 29.11 Ω으로 동일하게 나타났다. 마찬가지로 제거된 후에 도통되고 있는 전류도 동일한 값인 11.66 mA_{rms}로 계산되었다.

CeO₂가 첨가된 시편에서 부하가 제거되었을 때 첨가되지 않은 시편보다 큰 저항값이 나타남을 볼 수 있으며 이로 인해 도통되는 전류값도 0.07 mA정도 감소되는 것을 알 수 있다. 이로 볼 때 CeO₂첨가가 이루어진 시편이 전류제한효과가 큼을 고찰할 수 있고 앞에서 관찰한 CeO₂첨가가 이루어짐에 따라 형성된 후막층의 두께가 감소됨은 액상과 기판의 상호반응이 활발하게 이루어진 결과로 사료된다.

3.2 YBa₂Cu₃O_x도포에 따른 후막특성

두 번째 실험으로 조성비가 YBa₂Cu₃O_x가 되도록 혼합한 다음 하소과정을 거친 물질을 도포하였을 경우 CeO₂첨가량에 따른 주사현미경사진(그림 11)에서는 비교적 거칠었던 YBa₂Cu₃O_x입자들이 CeO₂첨가량에 따라 YBa₂Cu₃O_x초전도상 입자들사이의 결합이 향상되는 것을 관찰할 수 있었다.



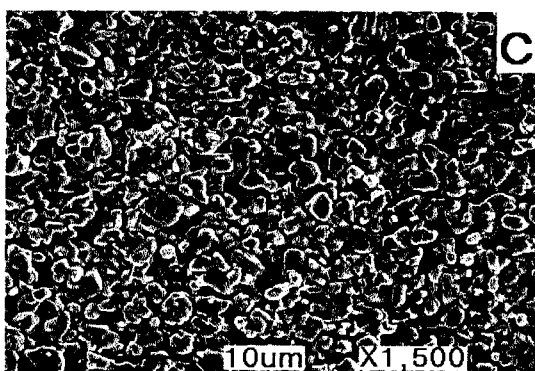


그림 11 Y_2BaCuO_5 기판에 CeO_2 첨가에 따른 YBCO 후막 표면의 전자현미경사진

- (a) $\text{Y}_2\text{BaCuO}_5 + \text{CeO}_2$ 0wt%
- (b) $\text{Y}_2\text{BaCuO}_5 + \text{CeO}_2$ 1wt%
- (c) $\text{Y}_2\text{BaCuO}_5 + \text{CeO}_2$ 2wt%

Fig. 11 SEM micrograph of surface of YBCO thick film

- (a) $\text{Y}_2\text{BaCuO}_5 + \text{CeO}_2$ 0wt%
- (b) $\text{Y}_2\text{BaCuO}_5 + \text{CeO}_2$ 1wt%
- (c) $\text{Y}_2\text{BaCuO}_5 + \text{CeO}_2$ 2wt%

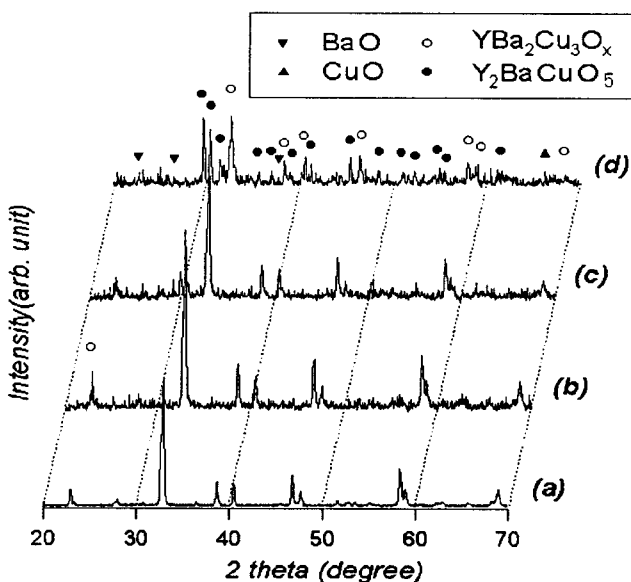


그림 12 Y_2BaCuO_5 에 CeO_2 첨가량에 따른 YBCO 후막의 X-ray 회절 패턴

- (a) $\text{Y}_2\text{BaCuO}_5 + \text{CeO}_2$ 0 wt%
- (b) $\text{Y}_2\text{BaCuO}_5 + \text{CeO}_2$ 1 wt%
- (c) $\text{Y}_2\text{BaCuO}_5 + \text{CeO}_2$ 2 wt%
- (d) $\text{Y}_2\text{BaCuO}_5 + \text{CeO}_2$ 2 wt%

Fig. 12 X-ray diffraction patterns of YBCO thick film with CeO_2 addition amount into substrate

- (a) $\text{Y}_2\text{BaCuO}_5 + \text{CeO}_2$ 0 wt%
- (b) $\text{Y}_2\text{BaCuO}_5 + \text{CeO}_2$ 1 wt%
- (c) $\text{Y}_2\text{BaCuO}_5 + \text{CeO}_2$ 2 wt%
- (d) $\text{Y}_2\text{BaCuO}_5 + \text{CeO}_2$ 2 wt%

X선회절패턴(그림 12)에서는 CeO_2 첨가에 따라 형성된 $\text{YBa}_2\text{Cu}_3\text{O}_x$ 상외에도 Y_2BaCuO_5 상과 BaO , CuO 와 같은 액상물질의 피크가 생성되어 점점 증가되는 것을 볼 수 있었다. 이는 이전의 용융법을 이용한 YBaCuO 초전도벌크 제조법에서도 보고되었던 것처럼 CeO_2 나 Pt첨가는 $\text{YBa}_2\text{Cu}_3\text{O}_x$ 상 형성시 입계사이의 액상과 Y_2BaCuO_5 상형성을 촉진시키고 미세화시켜 입계의 약결합을 향상시켜준다는 보고와 일치함을 입증해 주는 결과이다[7].

그림 13은 도포한 시편의 후막두께를 관찰한 주사전자현미경사진으로 CeO_2 가 첨가된 Y_2BaCuO_5 기판에서 열처리후 형성된 후막의 두께가 감소되는 것을 관찰할 수 있었다.

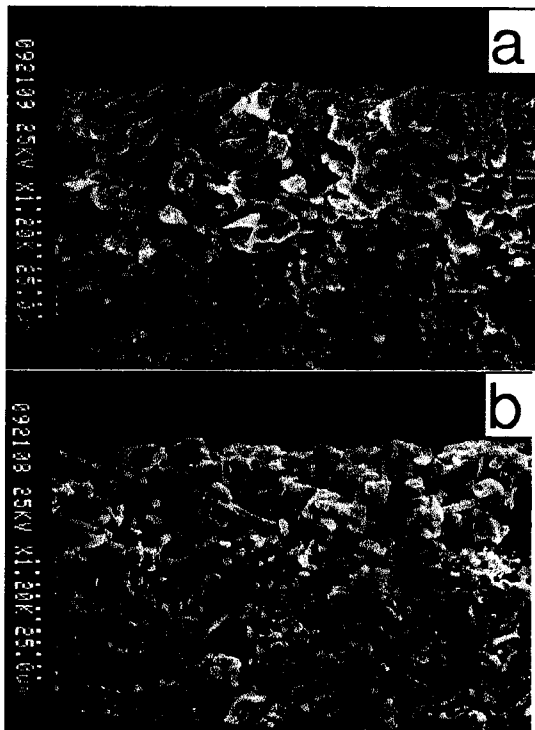


그림 13 기판에 CeO_2 첨가량에 따른 YBCO 후막층의 주사 전자현미경사진

- (a) $\text{Y}_2\text{BaCuO}_5 + \text{CeO}_2$ 0 wt%
 - (b) $\text{Y}_2\text{BaCuO}_5 + \text{CeO}_2$ 2 wt%
- Fig. 13 SEM micrograph of layer of YBCO with CeO_2 addition amount into substrate
- (a) $\text{Y}_2\text{BaCuO}_5 + \text{CeO}_2$ 0 wt%
 - (b) $\text{Y}_2\text{BaCuO}_5 + \text{CeO}_2$ 2 wt%

마지막으로 YBCO후막의 전류제한특성을 조사하기 위하여 CeO_2 첨가량이 0 wt%인 경우, 부하저항이 500Ω (그림 14), 100Ω (그림 15)인 경우에서 전류제한특성을 조사하였다. 그림 14, 15에 나타낸 양단 전압파형에서 볼 수 있듯이, 부하가 제거되기 전에는 각각 $330 \text{ mV}_{\text{peak}}$, $420 \text{ mV}_{\text{peak}}$ 전압이 후막양단에 나타났지만 제거된 후에는 $650 \text{ mV}_{\text{peak}}$, $670 \text{ mV}_{\text{peak}}$ 로 변화를 보였다.

식 (1)를 이용하여 계산한 부하저항제거전의 전원으로부터 공급전류는 $7.844 \text{ mA}_{\text{rms}}$, $10.639 \text{ mA}_{\text{rms}}$ 였고 접촉저항을 포함한 후막양단의 저항값은 29.75Ω , 27.92Ω 으로 계산되었다. 부하저항이 제거된 후는 식 (2)에 의해 전원 공급전류는 각각 $11.54 \text{ mA}_{\text{rms}}$, $11.53 \text{ mA}_{\text{rms}}$ 값으로 계산되었고 이 때의 저항값은 39.83Ω , 41.1Ω 에 해당되었다.

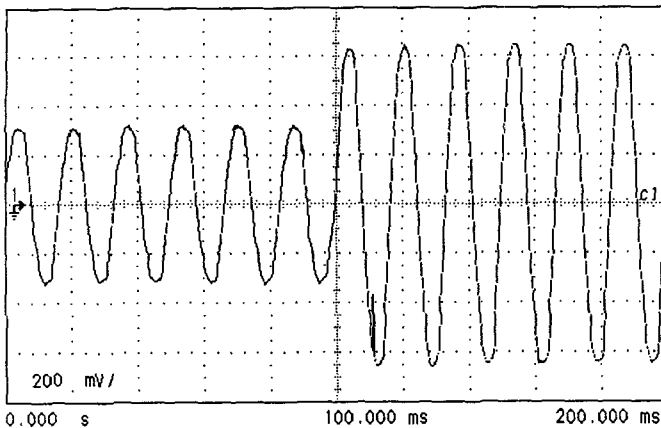


그림 14 YBCO고온초전도후막의 양단전압파형

기판 : $\text{Y}_2\text{Ba}_2\text{Cu}_3\text{O}_7 + \text{CeO}_2$ 0 wt%
부하저항 : $R_L = 500 \Omega$

Fig. 14 Voltage waveform of YBCO superconducting thick film

substrate : $\text{Y}_2\text{Ba}_2\text{Cu}_3\text{O}_7 + \text{CeO}_2$ 0 wt%
load resistance : $R_L = 500 \Omega$

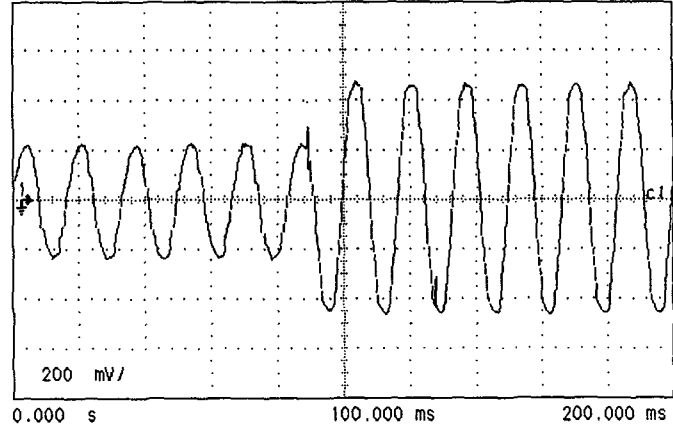


그림 16 YBCO고온초전도후막의 양단전압파형

기판 : $\text{Y}_2\text{Ba}_2\text{Cu}_3\text{O}_7 + \text{CeO}_2$ 2 wt%
부하저항 : $R_L = 500 \Omega$

Fig. 16 Voltage waveform of YBCO superconducting thick film

substrate : $\text{Y}_2\text{Ba}_2\text{Cu}_3\text{O}_7 + \text{CeO}_2$ 2 wt%
load resistance : $R_L = 500 \Omega$

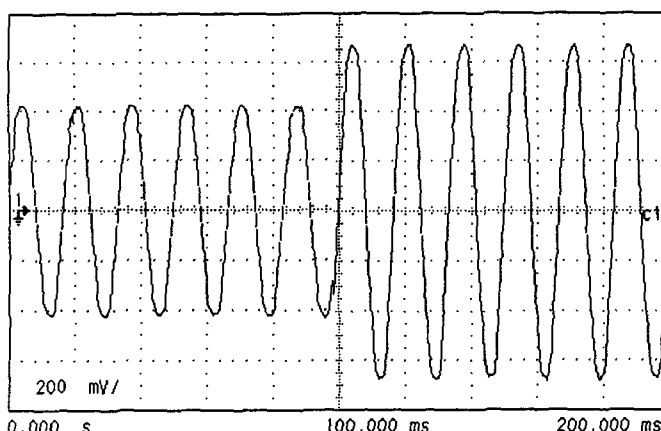


그림 15 YBCO고온초전도후막의 양단전압파형

기판 : $\text{Y}_2\text{Ba}_2\text{Cu}_3\text{O}_7 + \text{CeO}_2$ 0 wt%
부하저항 : $R_L = 100 \Omega$

Fig. 15 Voltage waveform of YBCO superconducting thick film

substrate : $\text{Y}_2\text{Ba}_2\text{Cu}_3\text{O}_7 + \text{CeO}_2$ 0 wt%
load resistance : $R_L = 100 \Omega$

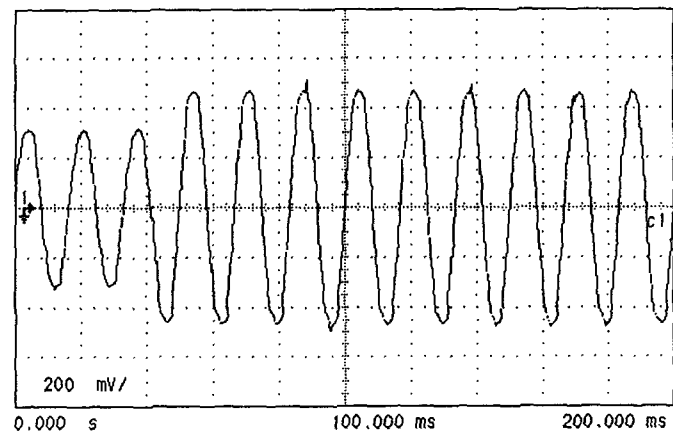


그림 17 YBCO고온초전도후막의 양단전압파형

기판 : $\text{Y}_2\text{Ba}_2\text{Cu}_3\text{O}_7 + \text{CeO}_2$ 2 wt%
부하저항 : $R_L = 100 \Omega$

Fig. 17 Voltage waveform of YBCO superconducting thick film

substrate : $\text{Y}_2\text{Ba}_2\text{Cu}_3\text{O}_7 + \text{CeO}_2$ 2 wt%
load resistance : $R_L = 100 \Omega$

마찬가지로 그림 16, 17는 $\text{Y}_2\text{Ba}_2\text{Cu}_3\text{O}_7$ 에 CeO_2 첨가량이 2 wt%인 경우의 양단전압파형을 보여준다. 그림에서 부하가 제거되기 전에는 후막 양단전압이 각각 $220 \text{ mV}_{\text{peak}}$, $320 \text{ mV}_{\text{peak}}$ 로 나타나지만 제거후에는 동일한 $470 \text{ mV}_{\text{peak}}$ 값을 보였다. 부하저항 제거 전의 전원 공급전류값은 $7.9 \text{ mA}_{\text{rms}}$, $10.7 \text{ mA}_{\text{rms}}$ 였지만 제거된 후에는 두 경우 동일하게 $11.67 \text{ mA}_{\text{rms}}$ 로 증가되었다. 이때 계산된 후막 양단전압은 부하저항이 500Ω 인 경우, 19.7Ω 에서 28.49Ω 으로 증가되었고 부하저항이 100Ω 인 경우엔 21.14Ω 에서 29.11Ω 으로 변화되었다.

도포물질로서 하소과정을 거쳐 제조한 $\text{YBa}_2\text{Cu}_3\text{O}_x$ 를 사용하였을 경우의 전류 제한특성에서는 $\text{Y}_2\text{Ba}_2\text{Cu}_3\text{O}_7$ 기판에 2 wt%의 CeO_2 첨가가 이루어진 시편에서 부하가 제거되었을 때의 저항값이 첨가되지 않은 시편보다 작아짐을 볼 수 있고 이에 따라 제한되는 전류값도 0.128 mA 가량 증가되었다.

따라서 도포물질로서 $\text{YBa}_2\text{Cu}_3\text{O}_x$ 를 사용할 경우엔 기판에 CeO_2 첨가가 $\text{BaO} + \text{CuO}$ 액상을 도포한 경우와 달리 효과적이지 못한 것으로 사료된다.

4. 결 론

고온초전도박막제조시 어려움을 감소시키고 전력전자회로의 응용을 모색하기 위해 제조공정이 간단한 스크린 프린팅법을 이용하여 고온초전도후막을 제작하였다. $\text{YBa}_2\text{Cu}_3\text{O}_x$ 부분 용융물질을 포함한 혼합 분말원료와 바인더를 혼합 페이스트를 제조하였다. 기판과 도포물질에 CeO_2 첨가량에 따라 형성되는 $\text{YBa}_2\text{Cu}_3\text{O}_x$ 상과 확산두께의 변화를 관찰하였다. 마지막으로 고온초전도 후막을 응용하기 위한 기본특성으로 웜치현상을 이용한 전류제한특성에 대해 고찰하였다. 본 연구에서 고찰한 초전도후막의 전류 제한특성으로부터 접촉저항을 최대한 최소화하는 기술과 보다 높은 임계전류를 갖는 후막 제작이 무엇보다도 선행되어야 할 것이며 웜치시 발생되는 기판과 생성된 후막간의 열적응력을 최소화하는 방법에 대한 연구 역시 앞으로 계속되어야 할 것으로 생각된다. 위에서 언급한 문제점들에 대한 연구와 함께 후막의 웜치특성을 전류제한소자나 스위치소자 등과 같은 전력전자회로에 적용시킬 수 있는 방법에 대한 모색도 진행하고자 한다.

감 사 의 글

본 연구는 1999년도기초전력공학공동연구소 (과제번호 : 98-중기-04) 연구비의 지원하에 수행 되었음을니다.

참 고 문 현

- [1] I. Monot, M. Lepropre, J. Provost, G. Desgardin, B. Raveau, D. Bourgault, J.M. Barbut, D. Braithwaite and R. Tournier, "High performance in a bulk melt textured $\text{YBa}_2\text{Cu}_3\text{O}_{7-x}$ ceramic", Supercond. Sci. Technol., pp. 712-718, 1992. 5.
- [2] Z. Han, D. Skov-Hansen and T. Fretoft, "The mechanical deformation of superconducting $\text{BiSrCaCuO}/\text{Ag}$ compositers", Supercond. Sci. Technol., Vol. 10, pp. 371-387, 1997
- [3] Jai mooYoo, Hyung sik Chung, Jae Woong Ko, Sung Chang Park, Hai Doo Kim, "Long-length processing of BSCCO2223 tape and its application to multistrand conductor for power cable", Proceedings of the 8th Korean Conference on Materials and Applications of Superconductivity, pp. 318-321, 1998.
- [4] Kwang soo No, Byung Hyuk Jun, Jongwan Choi, Eugene Kim, Tae Hyun Sung, Sang Chul Han, "Fabrication of Epitaxial Superconductor Thick Films Using Partial Melts", Proceedings of the 8th Korean Conference on Materials and Applications of Superconductivity, pp. 250-253, 1998.
- [5] F. Wellhofer, J. S. Abell, D. Holland and E. A. Logan, "Interface Studies on Screen Printed YBCO Superconducting Ceramics", Physica C, 153-155, pp 399-400, 1988.
- [6] N. V. Vuong, E. V. Raspopina and B. T. Huy, "Thick films of $\text{YBa}_2\text{Cu}_3\text{O}_{7-\delta}$ prepared on $\text{Y}_2\text{Ba}_3\text{Cu}_5\text{O}_8$ substrates", Supercond. Sci. Technol. 6 pp 453-459, 1993.
- [7] Chan-Joong Kim, Ki-Baik Kim, Hai-Woong Park, Tae-Hyun Sung, Il-Hyun Kuk and Gye-Won Hong, "Microstructure of melt-textured YBaCuO oxides with CeO_2 addition and the formation mechanism of the $\text{Ba}-\text{Cu}-\text{O}$ platelet structure", Supercond. Sci. Technol., pp.76-87, 1996. 9.
- [8] J. Tabuchi and K. Utsumi, "Preparation of Superconducting $\text{Y}-\text{Ba}-\text{Cu}-\text{O}$ Thick Film with Preferred C-axis Orientation by a Screen Printing Method", Appl. Phys. Lett., 53 (7) pp 606-608, 1988.
- [9] D. Bhattacharaya, C. K. Maiti, P. Pramanik, T. K. Dey, S. K. and K. L. Chopra, "Structural and Electrical Properties of Screen Printed Thick Films of $\text{YBa}_2\text{Cu}_3\text{O}_{7-x}$ Superconductors", Thin Solid Films, 164, pp 115-118, 1988.
- [10] B. Gudmundsson, H. Wang, R. A. Neiser, B. Katz, and H. Herman, "The Effect of Heat Treatment Environment on the Superconducting Properties of Plasma Sprayed $\text{YBa}_2\text{Cu}_3\text{O}_y$ Deposits", J. Appl. Phys., 67 (5) pp 2653-2655, 1990
- [11] D. K. Aswai, S. K. Gupta, A. K. Debnath, G. P. Kothiyal, S. C. Sabharwal and M. K. Gupta, "Preparation of Adherent $\text{Y}-\text{Ba}-\text{Cu}-\text{O}$ Thick Films and the Effect of Silver Doping", Supercond. Sci. Technol. 4 pp 188-191, 1991.

저자 소개

임 성 훈 (林 成 勳)



1973년 11월 1일 생. 1996년 전북대 전기
공학과 졸업, 1998년 전북대 대학원 전기
공학과 졸업(석사), 현재 동대학원 전기공
학과 박사과정

E-mail : dolphine@shinbiro.com

강 형 곤 (姜 亨 坤)

1967년 11월 20일 생. 1993년 2월 전북대학교 공대 전기공학
과 졸업. 1995년 2월 동대학원 석사과정 졸업(석사). 현재
동대학원 박사과정

E-mail : joshuah@shinbiro.com

한 태희 (韓 太 熙)



1964년 7월 20일 생. 1991년 2월 전북대학
교 공대 금속공학과 졸업. 1994년 8월 전
북대 전기공학과 졸업(석사) 1999년 8월
전북대 전기공학과 졸업(공박)

E-mail : hantaehee@hanmail.net

모 창호 (牟 昌 浩)

1966년 7월 2일 생. 1994년 2월 대전산업대 졸업. 1998년 8월
전북대 전기공학과 졸업(석사)

임 석진 (林 錫 珍)

1966년 8월 7일 생. 1992년 2월 원광대 전기공학과 졸업.
1997년 3월-현재 전북대 산업기술대학원 재학중.

한 병성 (韓 秉 誠)



1951년 12월 22일 생. 1988년 프랑스 루이
파스퇴르대학 박사학위취득. 1988년 프랑
스 CNRS(프랑스 국립과학연구소)연구원.
현재 전북대 공대 전기공학과 교수